

О ВЕКТОРНОЙ ТЕОРИИ САМОФОКУСИРОВКИ

*A. A. Колоколов, A. I. Сукаев*

(*Москва*)

Распространение световых пучков в нелинейных средах обычно описывается в рамках скалярного параболического приближения. Для некоторых моделей нелинейной среды ширина пучка в процессе его эволюции может стать сколь угодно малой. В этом случае необходимо отказаться от скалярной теории и решать полную систему уравнений Максвелла. Такая постановка задачи является очень сложной, поэтому векторной теории самофокусировки посвящено чрезвычайно мало работ [1—4]. В данной работе приведены результаты исследования векторной самофокусировки для простейшего случая низшей аксиально-симметричной  $TM$ -моды.

Система стационарных нелинейных уравнений Максвелла

$$(1) \quad \text{rot } \mathbf{H} = -ik_0\epsilon(|\mathbf{E}|^2)\mathbf{E};$$

$$(2) \quad \text{rot } \mathbf{E} = ik_0\mathbf{H}, k_0 = \omega/c$$

для монохроматического пучка, распространяющегося вдоль оси  $z$  и ограниченного в поперечном сечении, имеет два интеграла движения, не зависящих от  $z$ :

$$I_1 = \int \int dx dy \{ [\mathbf{E}, \mathbf{H}^*]_z + \text{к. с.} \},$$

$$I_2 = \int \int dx dy \left\{ \frac{1}{ik_0} \left( \left[ \mathbf{E}, \frac{\partial \mathbf{H}^*}{\partial z} \right]_z + \left[ \frac{\partial \mathbf{E}^*}{\partial z}, \mathbf{H} \right]_{zz} \right) + \Phi \right\} =$$

$$= \int \int dx dy \{ \epsilon (|E_z|^2 - |E_x|^2 - |E_y|^2) + |H_z|^2 - |H_x|^2 - |H_y|^2 + \Phi \},$$

$$\text{где } \Phi(|\mathbf{E}|^2) = \int_0^{|\mathbf{E}|^2} \frac{d\epsilon}{d\eta} \eta d\eta.$$

Следовательно, интеграл по всему поперечному сечению пучка от  $z$ -компоненты вектора Пойнтинга выражается через  $I_1$  в виде  $I_z = (c/16\pi)I_1$  и заменяет известный интеграл  $I_0 = \iint dx dy |\mathbf{E}|^2$  для скалярного параболического уравнения [5, 6].

Как известно, устойчивость стационарных решений скалярного волнового уравнения определяется знаком производной  $I_0$  по константе распространения [7]. Можно ожидать, что устойчивость стационарных решений полной системы уравнений Максвелла (1), (2) будет определяться соответственно производной интеграла  $I_z$  по константе распространения.

Для проверки этой гипотезы исследовалась аксиально-симметричная низшая  $TM$ -мода для случая кубической среды с диэлектрической постоянной  $\epsilon = \epsilon_0 \{1 + \epsilon_2 |\mathbf{E}|^2\}$ . Отметим, что анализ векторной самофокуси-

ровки в [1], основанный на зависимости величины  $I = \iint dx dy |\mathbf{E}|^2$  от ширины пучка, является некорректным, поскольку  $I$  не является интегралом движения системы уравнений (1), (2).

Записывая напряженность электрического поля в виде  $\mathbf{E} = -(\gamma/\sqrt{\epsilon_2})\mathbf{A} \exp[i(kz - \omega t)]$  и исключая из исходных уравнений магнитное поле, для безразмерной амплитуды  $\mathbf{A}$  основной  $TM$ -моды получаем следующую систему уравнений:

$$(3) \quad -\frac{\partial^2 A_r}{\partial \tau^2} - 2i \frac{\partial A_r}{\partial \tau} + \gamma \frac{\partial^2 A_z}{\partial \rho \partial \tau} + i\gamma \frac{\partial A_z}{\partial \rho} = \gamma(|A_r|^2 + |A_z|^2) A_r;$$

$$(4) \quad \frac{1}{\rho} \frac{\partial}{\partial \rho} \left( \rho \frac{\partial A_r}{\partial \rho} \right) + i \frac{1}{\rho} \frac{\partial}{\partial \rho} (\rho A_r) - \frac{\gamma}{\rho} \frac{\partial}{\partial \rho} \left( \rho \frac{\partial A_z}{\partial \rho} \right) = \gamma \left( \frac{1}{\gamma^2} + |A_r|^2 + |A_z|^2 \right) A_z,$$

где  $\tau = kz$ ,  $\rho = \gamma kr$  — безразмерные переменные,  $k = k_0 \sqrt{\epsilon_0}$ ,  $\gamma$  — свободный параметр, являющийся константой распространения и определяющий эффективную ширину распределения поля.

Стационарные распределения поля удовлетворяют системе уравнений, полученной при подстановке в (3), (4):

$$A_j(\rho, \tau) = \tilde{A}_j(\rho) \exp[i(\delta\tau + \delta_j)], \quad j = r, z,$$

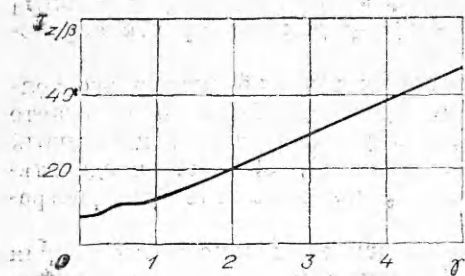
где  $\delta = \sqrt{1 + \gamma^2} - 1$ ,  $\delta_r - \delta_z = \pi/2$ .

Амплитуда  $\tilde{A}_j(\rho)$  удовлетворяет граничным условиям

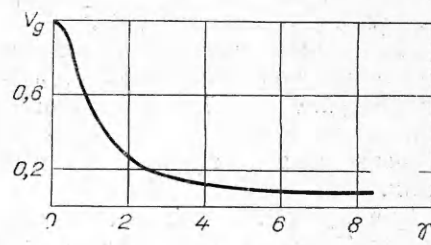
$$\tilde{A}_r(0) = \tilde{A}_r(\infty) = 0, \quad (d\tilde{A}_z/d\rho)(0) = \tilde{A}_z(\infty) = 0.$$

Для стационарного распределения основной  $TM$ -моды были вычислены зависимости интеграла  $I_z$  и скорости переноса энергии  $V = I_z/W$  от параметра  $\gamma$ , где  $W = (1/8\pi) \iint dx dy \{|\mathbf{E}|^2 + |\mathbf{H}|^2\}$ . Как видно из приведенной на фиг. 1 зависимости величины  $I_z/\beta$  от  $\gamma$ , где  $\beta = c^3/(4\omega^2 \epsilon_2 \sqrt{\epsilon_0})$ , поток энергии, переносимый модой в направлении оси  $z$ , растет с увеличением  $\gamma$  (т. е. с уменьшением ширины моды). Следовательно, можно ожидать, что соответствующая мода в кубической среде является устойчивой. На фиг. 2 приведена зависимость величины  $V_g = V/(c/\sqrt{\epsilon_0})$  от  $\gamma$ . С уменьшением ширины моды скорость переноса энергии уменьшается, что согласуется с результатами, известными в теории волноводов [8].

Устойчивость основной  $TM$ -моды относительно малых возмущений исследовалась также путем численного решения системы уравнений (3), (4), в которой для достаточно малых значений  $\gamma$  использовалось квазиоп-



Фиг. 1



Фиг. 2

тическое приближение  $|\partial^2 A_r / \partial \tau^2| \ll |\partial A_r / \partial \tau|$ . Полученные уравнения аппроксимировались неявной трехслойной симметричной регулярной конечно-разностной схемой второго порядка по обеим переменным. После корректного переноса граничных условий из бесконечности [9] полученная система алгебраических уравнений решалась методом прогонки. Контроль точности вычислений осуществлялся по сохранению интеграла  $I_z$ . При этом относительная точность сохранения составляла 3%. В качестве начального распределения в рассматриваемом квазиоптическом приближении бралось возмущенное распределение поля основной  $TM$ -моды.

$$E_r(\rho, 0) = \tilde{A}_r(\rho) \exp(i\delta_r) + i a \rho \exp(-a_1 \rho^2),$$

$$E_z(\rho, 0) = \tilde{A}_z(\rho) \exp(i\delta_z) + b \exp(-b_1 \rho^2).$$

Величины  $E_r$  и  $E_z$  удовлетворяли граничным условиям (5). Значения параметров  $a$ ,  $a_1$ ,  $b$ ,  $b_1$  выбирались таким образом, что относительные изменения интеграла  $I_z$  составляли 1–20%.

Численные расчеты, проведенные на ЭВМ БЭСМ-4, показали, что в процессе эволюции поперечное распределение поля остается близким к стационарному, в то время как на тех же расстояниях и при тех же относительных возмущениях амплитуды основная мода в скалярном квазиоптическом приближении либо схлопывается, либо расплывается [6].

На фиг. 3 приведены радиальные распределения  $|A_r(\rho, \tau)|$  и  $|A_z(\rho, \tau)|$  для случая  $\gamma = 0,2$ ,  $a = -0,05$ ,  $a_1 = 0,2$ ,  $b = 0,01$  и  $\delta_1 = 0,1$  при различных значениях  $\tau$ . Относительный вклад возмущений в значение  $I_z$  составляет 5%. На практике указанным параметрам соответствует, например, луч рубинового лазера, имеющий в диаметре  $\approx 10\lambda$ , мощность  $\approx 40$  кВт и распространяющийся в среде с  $\epsilon_2 = 1,8 \cdot 10^{-11}$  абс. ед.

В общем случае векторных самоканализирующихся цилиндрических волноводов [2]

$$I_z/\beta = \int_0^\infty \left[ \sqrt{1 + \gamma^2} (\tilde{A}_r^2 + \tilde{A}_\phi^2) - \gamma \left( \tilde{A}_r \frac{d\tilde{A}_z}{d\rho} + \frac{m}{\rho} \tilde{A}_\phi \tilde{A}_z \right) \right] \rho d\rho > 0,$$

где  $m$  — азимутальный индекс. Исходя из непрерывности стационарных решений от  $\gamma$ , можно показать, что  $I_z \sim \gamma^2$  при  $\gamma \rightarrow 0$  и  $I_z \sim \gamma$  при  $\gamma \rightarrow \infty$ . Поэтому в этих наиболее интересных с практической точки зрения случаях  $dI_z/d\gamma > 0$  и образование особенности, по-видимому, не происходит.

Таким образом, проведенное исследование указывает на возможность экспериментального наблюдения стационарных векторных волноводных решений в кубических средах.

Поступила 11 XI 1976

#### ЛИТЕРАТУРА

- Дарзек С. А., Сучков А. Ф. Оценка предельного диаметра канала самофокусировки в среде с кубической нелинейностью. — «Квант. электроника», 1971, № 4.
- Елеонский В. М., Оганесянц Л. Г., Силин В. П. Цилиндрические нелинейные волноводы. — ЖЭТФ, 1972, т. 62, вып. 1.

3. Pohl D. Self-focusing of TE<sub>01</sub> and TM<sub>01</sub> light beams: influence of longitudinal field components.—«Phys. Rev.», 1972, vol. 5A, N 4.
4. Sodha M. S., Nayyar V. P., Tripathi V. K. Asymmetric focusing of a laser beam in TEM<sub>01</sub> doughnut mode in a nonlinear dielectric.—«J. Opt. Soc. Amer.», 1974, vol. 64, N 7.
5. Власов С. Н., Петрищев В. А., Таланов В. И. Усредненное описание световых пучков в линейных и нелинейных средах (метод моментов).—«Изв. высш. учеб. заведений. Радиофизика», 1971, т. 14, № 7.
6. Захаров В. Е., Соболев В. В., Сынах В. С. Исследование поведения световых пучков в нелинейных средах.—ЖЭТФ, 1971, т. 60, вып. 1.
7. Колоколов А. А. Устойчивость стационарных решений нелинейного волнового уравнения.—«Изв. высш. учеб. заведений. Радиофизика», 1974, т. 17, № 9.
8. Маркузе Д. Оптические волноводы. М., «Мир», 1974.
9. Биргер Е. С., Ляликова Н. Б. О нахождении для некоторых систем обыкновенных дифференциальных уравнений решений с заданным условием на бесконечности.—ЖВММФ, 1965, т. 5, № 6.

УДК 533.9+537.52+539.893

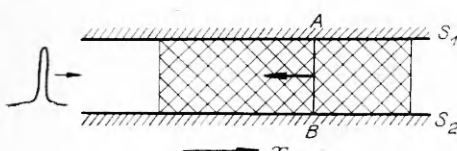
## О РЕЖИМЕ НАГРЕВА ПЛАЗМЫ С ПОСТОЯННЫМ ИМПЕДАНСОМ

*M. E. Герценштейн, B. A. Погосян*

(Москва)

Известно, что проводимость плазмы  $\sigma$  сильно зависит от температуры  $T$  [1],  $\sigma \sim T^{3/2}$ , что приводит к нарушению согласования плазмы при ее нагреве с источником энергии и к падению КПД нагрева. Постоянство импеданса облегчает задачу широкополосного согласования источника энергии с мишенью [2, 3]. В данной работе показано, что при импульсном нагреве твердотельной плазмы в режиме распространения волн ионизации [4] импеданс меняется мало.

Рассмотрим твердый диэлектрик, помещенный между проводниками  $S_1$  и  $S_2$  линии передачи (фиг. 1). Внутри диэлектрика находится тонкая проволочка или пленка  $AB$ . Ограничимся простейшим случаем, когда проводники  $S_1$  и  $S_2$  — плоскопараллельные пластины. На линию подается мощный радио- или видеоимпульс [5, 6], пленка взрывается [7, 8], и от нее распространяется волна ионизации, картина поля и тока показана на фиг. 2. Фронт ионизации распространяется налево, слева перед фронтом  $E_1 \neq 0$ , в диэлектрике  $\sigma_1 = 0$ , справа за фронтом ионизации  $\sigma = \sigma_2$ . Поле СВЧ или короткого импульса не проникает внутрь проводящей плазмы за фронтом ионизации ( $E_2 = 0$ ), поэтому импульсный ток  $j$  равен нулю всюду, кроме тонкого скин-слоя, в котором выделяется энергия, и распространение разряда, как отмечалось в [4], полностью аналогично процессу детонации [4, 9]. В показанной на фиг. 1 системе возможно распространение как волны пробоя, так и волны ионизации, причем распространяется только волна, имеющая большую скорость [4].



Фиг. 1